

К. А. ЖАКСЫБЕКОВА

О ТЕОРЕМЕ ЗИГЕРТА В ФОТОНУКЛОННЫХ РЕАКЦИЯХ

В рамках длинноволнового приближения проведен сравнительный анализ амплитуд процессов фотонуклонной эмиссии (γ, N) для ядер p -оболочки, построенных как с учетом, так и без учета теоремы Зигерта.

Фотоядерные процессы двухчастичной фрагментации $A(\gamma, a)b$ представляют собой наиболее информативную и прямую возможность апробации различных модельных подходов к описанию структуры атомного ядра, так как операторы электромагнитного

взаимодействия достаточно хорошо изучены, а фактор искажения в начальном канале минимален [1].

Вопрос об относительном проявлении нуклонных и мезонных степеней свободы в ядерной среде и в настоящее время относится к категории

фундаментальных. В фотоядерных процессах можно учесть мезонные токи посредством обобщенной теоремы Зигерта или применением уравнения непрерывности в рамках нерелятивистской квантовой механики. Корректность применимости обобщенной теоремы Зигерта обусловлена степенью самосогласованности описания состояний дискретного и непрерывного спектров, задействованных в исследуемых процессах $A(\gamma, a)b$ [2–4].

В настоящей работе рассматриваются некоторые закономерности процессов фотонуклонной эмиссии (γ, N) на ядрах p -оболочки (число нуклонов $4 < A \leq 16$) в низкоэнергетическом пределе, обусловленные конструкцией операторов электромагнитного взаимодействия, построенных как с учетом теоремы Зигерта, так и без учета таковой.

Общим моментом для таких реакций является то, что исходные волновые функции (ВФ) в модели оболочек имеют $s^4 p^{4+4}$ структуру. Следовательно, при отделении одного нуклона из p -оболочки функции относительного движения “нуклон – ядро-остаток” представляют собой в оболочечной классификации безузловые функции $R_{1p}(r)$, соответствующие квантовым числам $N\Lambda=11$ [5]. Заметим, что, с одной стороны, вид функций модели оболочек является критерием для ВФ, полученных в более сложных ядерных моделях, например кластерных. В то же время некоторые отличия, связанные с различными методами построения радиальных функций, отражают особенности феноменологии, заложенной в данной модели. В частности, это проявляется в таких характеристиках ядра, как среднеквадратичный радиус и асимптотическая константа, которые, по существу, определяют характер локализации нуклона в поле ядра-остова.

Далее представлены в общем виде алгебраические выражения для матричных элементов процесса (γ, N) , рассчитанные в длинноволновом приближении. В качестве примера применения полученных результатов рассмотрен канал фрагментации ${}^7Li \rightarrow {}^6Li + n$.

1. Дифференциальное сечение процесса двухчастичного фоторасщепления $A(\gamma, a)b$ в системе центра масс может быть представлено в следующем общем виде [6]:

$$\frac{d\sigma}{d\Omega}(\theta, E_\gamma) = \frac{\mu q}{4\pi(2J_i + 1)} \sum_{\substack{M_{sa}, M_{sb} \\ M_i, \lambda = \pm 1}} |M_{fi}(k_\gamma, \lambda)|^2, \quad (1)$$

где μ – приведенная масса частиц a и b , q – импульс относительного движения. Начальное ядро характеризуется полным моментом J_i и его проекцией M_i .

После проведения мультипольного разложения матричные элементы $M_{fi}(k_\gamma, \lambda)$ с учетом ориентации γ -кванта по оси z ($k_\gamma \parallel z$) можно представить в виде

$$M_{fi}(k_\gamma, \lambda) = -\sum_{J, \lambda} \sqrt{2\pi(2J+1)} i^J (T_{J\lambda}^{el} + \lambda T_{J\lambda}^{mag}). \quad (2)$$

Поскольку нас интересует область энергий γ -квантов значительно ниже порога образования мезонов, то для мультипольных операторов $T_{J\lambda}$ используем длинноволновое приближение. Приведем их явный вид для операторов магнитного и электрического переходов ранга J :

$$T_{J\lambda}^{el} = -\frac{k_\gamma^J}{(2J+1)!!} \left(\frac{J+1}{J}\right)^{1/2} \left\{ \hat{e}_i r_i^J Y_{J\lambda}(\hat{r}_i) + i \frac{k_\gamma}{2M(J+1)} \hat{e}_i \hat{\mu}_i \hat{\sigma}_i \left[\hat{r}_i \times \hat{\nabla}_i (r_i^J Y_{J\lambda}(\hat{r}_i)) \right] \right\}, \quad (3)$$

$$T_{J\lambda}^{mag} = i \frac{k_\gamma^J}{(2J+1)!!} \left(\frac{J+1}{J}\right)^{1/2} \times \left\{ \hat{\mu}_i \hat{\sigma}_i + \frac{2}{J+1} \hat{e}_i \hat{L}_i \right\} \frac{\hbar}{2M_N} \hat{\nabla}_i \left(r_i^J Y_{J\lambda}(\Omega_i) \right). \quad (4)$$

Конвективная часть оператора $T_{J\lambda}^{el}$ получена с учетом теоремы Зигерта [1]. Следует отметить также, что согласно правилу Морпурго магнитные ML -переходы существенно подавлены по сравнению с электрическими, поэтому актуально обсудить именно конвективные электрические EJ -переходы [6].

Оператор (3) без учета теоремы Зигерта имеет следующий вид для конвективной части:

$$T_{J\lambda}^Z = -\left(\frac{\hbar}{M_N c}\right) \frac{k_\gamma^{J-1}}{(2J+1)!!} \sqrt{(J+1)(2J+1)} \hat{e}_i \hat{Y}_{J\lambda}^{J-1}(\hat{r}) \cdot \hat{\nabla}_i, \quad (5)$$

где M_N – масса нуклона, c – скорость света, $\hat{Y}_{J\lambda}^{J-1}(\hat{r})$ – шаровой вектор. Используем [7] для определения циклических компонент оператора $\hat{\nabla}_{1\mu}$

$$\hat{\nabla}_{1\mu} f_l(r) Y_{lm}(\Omega) = \sum_{\bar{l}=l\pm 1, \bar{m}} C_{1\mu l m}^{\bar{l} \bar{m}} Y_{\bar{l} \bar{m}}(\Omega) g_{\bar{l}}(r), \quad (6)$$

где дифференциальная часть оператора имеет вид

$$g_{l+1}(r) = \sqrt{\frac{l+1}{2l+3}} D_+ f_l(r), \quad g_{l-1}(r) = \sqrt{\frac{l}{2l-1}} D_- f_l(r),$$

$$D_+ = \frac{d}{dr} - \frac{l}{r}, \quad D_- = \frac{d}{dr} + \frac{l+1}{r}. \quad (7)$$

ВФ в начальном канале $R_{j,s_c}^{(\kappa)}(y)$ будем характеризовать полным моментом, четностью и изоспином – J_i^{π}, T_i , а также угловым моментом к по координате относительного движения нуклон-“ядро-остаток” $\vec{y} = \vec{R}_{A-1} - \vec{r}_N$. Моменты связаны правилом векторного сложения со спином канала s_c следующим образом $\vec{s}_c = \vec{j}_i + \vec{k}$.

ВФ в непрерывном спектре $R_{j_f}(qy)$ строятся с учетом спин-орбитального расщепления парциальных волн с орбитальным моментом l по полному моменту j_f с учетом векторной связи $\vec{s}_c = \vec{l} + \vec{j}_f$. При этом спин нуклона $s_N = \frac{1}{2}$, полный момент ядра-остатка j и спин канала s_c также отвечают правилу треугольника $\vec{s}_c = \vec{j} + \vec{s}_N$.

Используя правила векторного сложения, технику суммирования коэффициентов Клебша–Гордана [7], получаем следующее выражение для матричного элемента (2) конвективных EJ -переходов в реакции (γ, N) :

$$\begin{aligned} |M_{fi}|^2 &= 4\pi \sum_{\substack{\Lambda M_{\Lambda}, s_c, \\ \lambda=\pm 1}} (2\Lambda + 1)(2s_c + 1) |M^{(\sigma\tau)}|^2 \times \\ &\times \left| \sum_{\substack{l m_l, j_f, \\ \kappa, J}} C_{EJ}(-i)^l e^{-i\delta_{l j_f}} Y_{l m_l}(\Omega_q) J_{l j_f, J}^{(\kappa)}(q) C_{1 m_l \Lambda M_{\Lambda}}^{J \lambda} \times \right. \\ &\left. \times \sqrt{2\kappa + 1} (2j_f + 1) \begin{Bmatrix} \kappa & l & J \\ j_f & J_i & s_c \end{Bmatrix} \begin{Bmatrix} \Lambda & l & J \\ j_f & J_i & s_c \end{Bmatrix} \right|^2. \quad (8) \end{aligned}$$

Здесь $M^{(\sigma\tau)}$ – спин-изоспиновый матричный элемент. Радиальный интеграл перекрывания определен следующим образом:

$$J_{l j_f, J}^{(\kappa)}(q) = \int R_{j_f}(qy) \hat{O}_{J\lambda}(y) R_{j,s_c}^{(\kappa)}(y) y dy. \quad (9)$$

В выражении (9) координатная операторная часть $\hat{O}_{J\lambda}(y)$ имеет следующий явный вид: для операторов (3) с учетом теоремы Зигерта

$$\hat{O}_{J\lambda}(y) = C_{10 J 0}^{10} \cdot y^J \quad (10)$$

и для операторов (5)–(7), построенных для однонуклонных токов без применения теоремы Зигерта

$$\hat{O}_{J\lambda}^Z(y) = \sqrt{2J-1} \sum_{\bar{l}=\pm 1} (2\bar{l}+1) C_{J-1 0 \bar{l} 0}^{1 0} \begin{Bmatrix} 1 & J-1 & J \\ 1 & 1 & \bar{l} \end{Bmatrix} y^{J-1} g_{\bar{l}}(y). \quad (11)$$

Итак, полученные выражения для матричных элементов (8)–(11) применимы для расчета наблюдаемых характеристик процессов (γ, N) для всех ядер p -оболочки и их изотопов. Отличия, связанные с особенностями спин-изоспиновой структуры данного ядра, учитываются в (8) матричным элементом $M^{(\sigma\tau)}$.

В то же время алгебраическая и координатная часть в (8) для этих процессов имеет формально общий вид. Очевидно, что в случае использования операторов (3) в подынтегральном выражении $J_{l j_f, J}^{(\kappa)}(q)$ действие оператора $\hat{O}_{J\lambda}(y)$ (10) на функцию связанного состояния $R_{j,s_c}^{(\kappa)}(y)$ сводится просто к умножению на степенную функцию y^J . Однако использование операторов $\hat{O}_{J\lambda}^Z(y)$ (11) приводит к тому, что *каждой* парциальной волне l в непрерывном спектре будут соответствовать *различные* радиальные ВФ, построенные из $R_{j,s_c}^{(\kappa)}(y)$.

Отметим также, что в интеграле (9) можно использовать как радиальные функции трансляционно-инвариантной модели оболочек, так и вариационные кластерные функции, разложенные по гауссовскому базису

$$R_{\kappa}(r) = \sum_i r^{\kappa} C_i e^{-\alpha_i r^2}. \quad (12)$$

Далее проиллюстрируем полученные результаты на примере фрагментации ядра 7Li в канале ${}^6Li + n$.

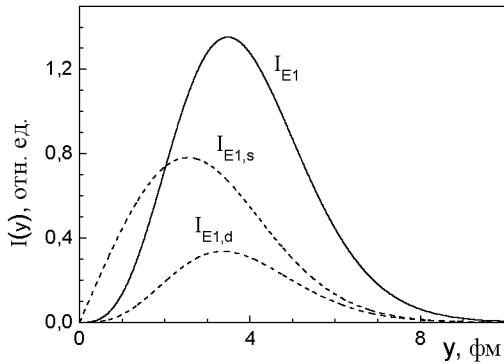
2. В работе [8] методом проектирования были получены ВФ относительного движения ${}^6Li + n$ в виде (12). В случае образования ядра 6Li в основном состоянии доминирует $1P$ -компонента. Для части подынтегрального выражения (9) $\hat{O}_{J\lambda}(y) R_{j,s_c}^{(\kappa)}(y)$ введем следующие обозначения: для операторов, построенных с учетом теоремы Зигерта

$$I_{EJ}(y) = R_p(y) \cdot y^J \quad (11),$$

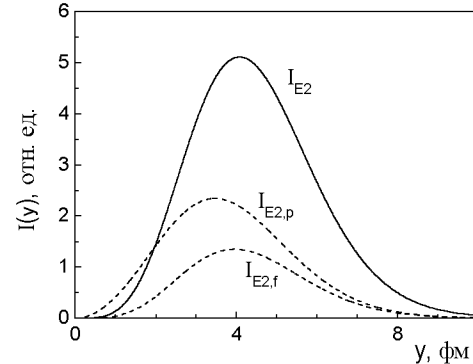
для операторов $I_{EJ,1}(y)$, построенных без учета теоремы Зигерта для $E1$ и $E2$ -переходов

$$\begin{aligned} I_{E1,s}(y) &= \sum_i C_i (3 - 2\alpha_i y^2) y e^{-\alpha_i y^2}, \\ I_{E1,d}(y) &= 2 \sum_i C_i \alpha_i y^3 e^{-\alpha_i y^2}, \end{aligned} \quad (13)$$

а



б



Подынтегральные выражения $I_{E1}(y)$ и $I_{E2}(y)$ для парциальных амплитуд E1- и E2-переходов в канале ${}^7\text{Li} \rightarrow {}^6\text{Li} + n$

$$I_{E2,p}(y) = \sqrt{\frac{6}{5}} \sum_i C_i (2,5 - 2\alpha_i y^2) y^2 e^{-\alpha_i y^2},$$

$$I_{E2,f}(y) = \sqrt{\frac{6}{5}} \sum_i C_i \alpha_i y^4 e^{-\alpha_i y^2}. \quad (14)$$

На рис. представлены результаты расчетов подынтегральных выражений (11)–(14) для E1- и E2-переходов. Как видно из рисунков, эффективный учет обменных мезонных токов посредством теоремы Зигерта приводит к «выталкиванию» волновых функций из внутренней области ядра как для четных, так и нечетных волн, тем самым имитируя отталкивания нуклонов на малых расстояниях.

В заключение отметим, что полученные результаты (8)–(11) можно также использовать для переходов на возбужденные состояния ядра-остатка A-1, а также для расчетов обратных процессов – радиационного захвата нуклонов.

ЛИТЕРАТУРА

1. Айзенберг И., Грайнер В. Механизмы возбуждения ядра. М., 1973.
2. De Forest T., Walecka Jr. and J.D. // Adv. Phys. 1966. V. 15, N 57. 109 p.

3. Arenhoevel H., Weyrauch. M. // Nucl. Phys. A. 1986. V. 457. P. 573.
4. Joenpera I. // Ann. Ac Scie. Fennicae. Ser. A. VI. Physica. Helsinki. 1972. V. 397. 34 p.
5. Немец О.Ф., Неудачин В.Г., Рудчик А.Т. и др. Нуклонные ассоциации в атомных ядрах и ядерные реакции много-нуклонных передач. Киев, 1988.
6. Буркова Н.А., Жаксыбекова К.А., Жусупов М.А. // ЭЧАЯ. 2005. Т. 36, вып. 4. С. 801.
7. Варшолович Д.А., Москалев А.Н., Херсонский В.К. Квантовая теория углового момента. Л., 1975.
8. Буркова Н.А., Жаксыбекова К.А. // Вестник КазНУ. Сер. физ. 2005. С. 11-16.

Резюме

Ұзынтолқындық жуықталуда Зигерт теоремасын ескере отырып та, оны ескермей де құрылған p-қабықшаның ядролары үшін (g, N) фотокулондық эмиссиялары процестерінің амплитудаларына салыстырмалы талдау жүргізілген.

Summary

Within the long wave approximation a comparative analysis of one-nucleon (γ, N) photoemission amplitudes for p-shell nuclei was implemented both with and without taking the Siegert's theorem into account.

КазНУ им. аль-Фараби,
г. Алматы

Поступила 16.06.05 г.